

Н.Н. Мурашко, Ю.В. Соболев (канд.техн.наук)

Брестский инженерно-строительный институт

О РАСЧЕТЕ УЗЛОВ ЛЕГКИХ КОНСТРУКЦИЙ ПОКРЫТИЙ  
ПРОИЗВОДСТВЕННЫХ СЕЛЬСКОХОЗЯЙСТВЕННЫХ ЗДАНИЙ

Применение металлических конструкций покрытий в сельскохозяйственных производственных зданиях — по существу, новая область строительства. Специфические условия изготовления, транспортировки, монтажа и эксплуатации металлоконструкций для таких зданий не позволяют в полной мере использовать решения, отработанные многолетней практикой промышленного строительства, и требуют применения новых конструктивных форм.

В настоящее время в покрытиях сельскохозяйственных производственных зданий применяются асбестоцементные утепленные плиты типа "сэндвич" размером 300x150x19 см и массой до 2750 Н, а также легкие панели с оцинкованным профилированным настилом. Плиты укладываются по верхним поясам ферм (без прогонов) с шагом 3 м. При облегченных покрытиях их нагрузка с учетом собственного веса несущих конструкций составляет менее 1000 Н/м<sup>2</sup>, что дает возможность эффективно внедрять легкие стальные конструкции покрытий с использованием тонкостенных труб. Уменьшение нагрузок открывает возможности для создания новых конструктивных решений комбинированных систем, выполненных из набора различных типов профилей с выгодным применением труб из обычной углеродистой стали [1], а также позволяет существенно упростить технологию изготовления и снизить затраты на транспортировку и монтаж.

Следует отметить, что ограниченное применение металла в сельскохозяйственном строительстве<sup>1</sup> и дефицитность труб пока исключают необходимость организации поточного производства трубчатых конструкций с бесфасоночным соединением узлов и применением дорогостоящих станков-автоматов по фигурной резке концов труб на существующих сравнительно небольших заводах металлоконструкций. Поэтому представляется раци-

---

<sup>1</sup> Правилами ТП-101-73 применение стали для строительства сельскохозяйственных производственных зданий разрешено при собственной массе покрытия менее 1000 Н/м<sup>2</sup>.

ональным изготовление ферм покрытий с узлами на поперечных цилиндрических (рис. 1, б), призматических и сферических вставках или со сплющиванием концов труб решетки, что позволяет организовать производство даже на строительной площадке с резкой концов труб на дисковой пиле.

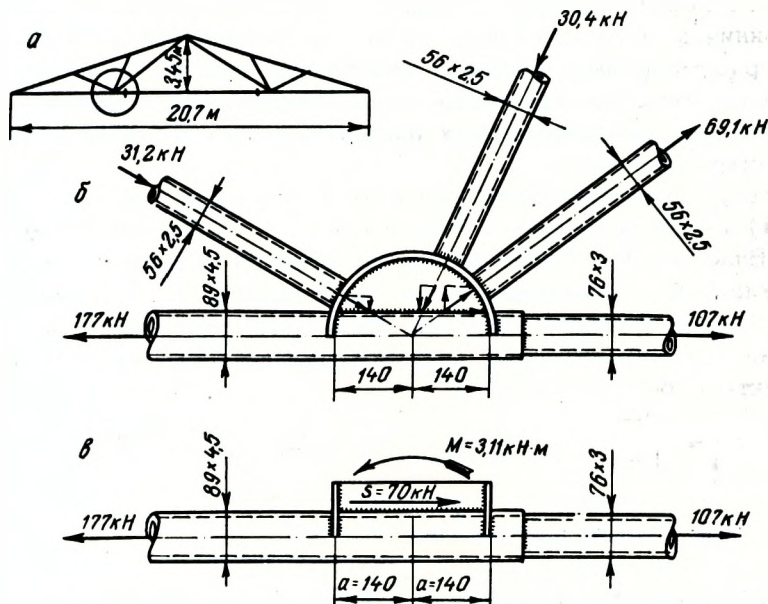


Рис. 1. Соединение в узлах трубчатых элементов комбинированной системы: а - геометрическая схема фермы; б - узел на поперечной цилиндрической вставке; в - нагружение трубы пояса фермы в узле.

Сельстройкомбинатами (ССК) "Главмособлстрой" [2] налажено производство унифицированных треугольных ферм (рис. 1, а) легкого типа с пролетами 12, 18 и 21 м в виде комбинированной системы<sup>2</sup> (верхний пояс П-образного сечения, а остальные элементы из труб). Такие фермы особенно эффективны в климатических условиях Белоруссии, так как расчетная снеговая нагрузка, являясь основной нагрузкой, принимается  $700 \text{ Н/м}^2$ . Тогда нагрузка на покрытие составляет  $1650 \text{ Н/м}^2$  и трубчатые элементы подбираются по предельной гибкости.

<sup>2</sup> Ферма запроектирована институтом Мосгипросельстрой совместно с ЦНИИСК им. В.А. Кучеренко из обычной углеродистой стали под нагрузку  $2350 \text{ Н/м}^2$  с применением в узлах цилиндрических вставок, подкрепленных диафрагмой (серия 1.860-1).

Принятое для ферм покрытий конструктивное решение узлов в виде системы продольно-кольцевых ребер, через которые передается усилие (узловой момент и сдвигающая сила) (рис. 1, в) на цилиндрическую оболочку, находит также широкое применение в листовых конструкциях сельскохозяйственного строительства. Тем самым встает проблема напряженно-деформированного состояния комбинированного узла, при решении которой необходимо рассматривать сложную контактную задачу сопряжения цилиндрической оболочки с элементами включения, а также разработка методов инженерных расчетов подобных узлов в практике проектирования.

Итак, рассматривается относительно тонкая оболочка ( $h/r < 0,1$ ) с использованием технической моментной теории В.З. Власова [3]; оболочка предполагается длиной ( $l/r > 8$ ); к системе ребер приложены продольный момент  $M$  и сдвигающая сила  $S$ . Контактная нагрузка представляется в виде линейной комбинации элементарных нагрузок, приложенных по линиям контакта ребер с оболочкой,

$$Q_i = \sum_{k=0,1,2} A_{ik} q_{ik}; \quad T_i = \sum_{k=0,1,2} B_{ik} \tau_{ik};$$

$$S_{ik} = \sum_{k=0,1,2} C_{ik} s_{ik}, \quad (1)$$

где  $i = 1; 2$ ;  $A_{ik}, B_{ik}, C_{ik}$  - искомые коэффициенты контактной нагрузки;  $q_{ik}, \tau_{ik}, s_{ik}$  - линейно независимая система функций, принимающая нулевые значения за пределами кольцевых и продольного ребер и выполняющая роль концентраторов контактной нагрузки под их концами. В качестве основной системы принимается оболочка открытого типа, получаемая из рассматриваемой путем фиктивных разрезов по срединным плоскостям ребер. Тогда контактная нагрузка оказывается приложенной по краям открытой оболочки в виде контурных усилий, вследствие чего разрешающая система дифференциальных уравнений (равновесия и совместности) в частных производных превращается в однородную относительно радиального  $W$  и тангенциальных  $V$  и  $U$  перемещений.

$$\nabla^8 W + 12(1 - \mu^2)(r/h)^2 \partial^4 W / \partial \xi^4 = 0;$$

$$\nabla^4 V + (2 + \mu) \partial^3 W / \partial \xi^2 \partial \varphi + \partial^3 W / \partial \varphi^3 = 0;$$

$$\nabla^4 U + \mu \partial^3 W / \partial \xi^3 - \partial^3 W / \partial \xi \partial \varphi^2 = 0, \quad (2)$$

где  $\nabla^8 = (\nabla^4)^2 = (\nabla^2)^4$ ;  $\nabla^2 = \partial^2 / \partial \xi^2 + \partial^2 / \partial \varphi^2$  - оператор Лапласа;  $\xi = x/r$ ;  $\varphi = y/r$  - относительные (продольная и кольцевая) ординаты;  $\mu$  - коэффициент Пуассона.

Решение разрешающей системы дифференциальных уравнений принимается в виде одинарных тригонометрических рядов в предположении шарнирного опирания оболочки по торцам для кольцевого и продольного ребер:

$$W = \sum_{n=0,1,2} W_n(\xi) \cos n \varphi; \quad W = \sum_{n=0,1,2} \bar{W}_n(\varphi) f_n(\xi);$$

$$f_n(\xi) = \left[ (1 + (-1)^n) / 2 \right] \sin \lambda_n \xi + \left[ (1 - (-1)^n) / 2 \right] \cos \lambda_n \xi \quad (3)$$

соответственно для кольцевого и продольного ребер;  $\lambda_n = \pi r n / l$  - параметр трубы;  $n$  - порядковый номер разложения решения в тригонометрический ряд.

Подставляя выражения (3) в систему (2), находим функциональные (гиперболические) коэффициенты  $W_n(\xi)$  и  $\bar{W}_n(\varphi)$  с 8-ю константами интегрирования для каждого члена ряда. При этом контурные силы в местах фиктивных разрезов также разлагаются в ряд по фундаментальным функциям решения оболочки. Из физических соображений, учитывая эффект быстрого затухания силового возмущения в окружающем продольном направлениях, получаем в выражениях компонент перемещений для каждого члена ряда по четыре константы интегрирования, чем игнорируется взаимное влияние загруженных краев оболочки. Переход от основной системы к расчетной осуществляется путем смыкания краев оболочки по кольцевым и продольным разрезам. Константы интегрирования определяются из условий неразрывности оболочки в местах фиктивных разрезов:  $\frac{\partial W}{\partial \varphi} = 0$ ;  $V = 0$ ;  $\frac{\partial U}{\partial \varphi} = 0$  - для продольного разреза при радиальной нагрузке;  $W = 0$ ;  $\frac{\partial^2 W}{\partial \varphi^2} = 0$ ;  $U = 0$  - то же при тангенциальной (кольцевой) нагрузке;  $\frac{\partial W}{\partial \xi} = 0$ ;  $\frac{\partial V}{\partial \xi} = 0$ ;

$U = 0$  - для кольцевого разреза при радиальном направлении нагрузки;  $\frac{\partial W}{\partial \xi} = 0$ ;  $\frac{\partial^3 W}{\partial \xi^3} = 0$ ;  $U = 0$  - то же для сдвига-

ющей силы. Четвертое условие для определения констант принимается в функции величины нагрузки каждого из ребер рассматриваемой системы. Взаимосвязь между коэффициентами разложения нагрузки в ряд и соответствующими коэффициентами перемещений устанавливается на основе дифференциальных зависимостей внутренних усилий в оболочке  $M_i$ ;  $T_i$ ;  $S_i$  - соответственно изгибающих моментов, цепных усилий и сдвигающих сил в продольном ( $i = 1$ ) и кольцевом ( $i = 2$ ) сечениях оболочки от  $W$ ,  $V$  и  $U$  [3].

Таким образом, окончательно приходим к следующим выражениям радиального перемещения оболочки при действии радиальной  $2Q_2$  и тангенциальной  $2S_2$  контактных нагрузок в месте опирания продольного ребра ( $\varphi = 0$ ):

$$W = \sum_{n=0,1,2} \sum_{k=0,1} A_{2k} \bar{a}_{kn} \bar{\beta}_n \bar{F}_n(\varphi) f_n(\xi);$$

$$W = \sum_{n=0,1,2} \sum_{k=0,1} B_{2k} \bar{b}_{kn} \bar{\gamma}_n \bar{F}_n^*(\varphi) f_n(\xi). \quad (4)$$

Аналогичные выражения могут быть записаны для тангенциальных перемещений.

В случае передачи на оболочку радиальной  $2Q_1$  и тангенциальной  $2S_1$  нагрузок через кольцевое ребро получены следующие выражения прогиба:

$$W = \sum_{n=0,2,4} \sum_{k=0,1} A_{1k} a_{kn} \beta_n F_n(\xi) \cos n \varphi;$$

$$W = \sum_{n=0,2,4} \sum_{k=0,1} B_{1k} b_{kn} \gamma_n F_n^*(\xi) \cos n \varphi. \quad (5)$$

Аналогичные выражения могут быть записаны для тангенциальных перемещений. Входящие в выражения (4) и (5) коэффициенты контактной нагрузки  $A_{ik}$  и  $B_{ik}$  определяются из решения контактной задачи методом коллокаций, удовлетворяя тем самым условию совместности перемещений оболочки и каждого из ребер в отдельных точках, число которых соответствует числу коэффициентов контактной нагрузки в зависимости от требуемой точности решения задачи.

Как показал анализ [4], следует ограничиться пятью точками коллокаций для каждого из ребер, располагая их равномерно на полудлине ребра ( $a$  - для продольного,  $r \varphi_0$  - для кольцевого) при действии кососимметричной нагрузки, каковой является

узловой момент  $M$  и сдвигающая сила  $S$ . Тогда для системы ребер рассматриваемого узла (рис. 1, в) получим следующую систему линейных алгебраических уравнений относительно коэффициентов контактной нагрузки, записанную в матричной форме:

$$\begin{bmatrix} \text{Д} & \text{Е} \\ \text{Б} & \text{Г} \end{bmatrix} \begin{bmatrix} A_0 \\ A_{r_1} \\ B_0 \\ B_{t_1} \end{bmatrix} = \theta h \begin{bmatrix} 1 - \frac{\omega_1(\varphi_r) - \omega_2(\frac{a}{r})}{\Theta h} \\ \frac{r}{a} \xi_t - \frac{\omega_2(\xi_t)}{\Theta h} \end{bmatrix} \quad (6)$$

$$\text{где } \text{Д} - \sum_{j=1;2} \sum_{n=0,1,2} a_{kn} [F_{jn}(0) - F_{jn}(2\xi_0)] \cos n\varphi_r;$$

$$\text{Б} - \sum_{j=1;2} \sum_{n=0,1,2} a_{kn} [F_{jn}(\xi_0 - \xi_t) F_{jn}(\xi_0 + \xi_t)];$$

$$\text{Е} - \sum_{j=1,2} \sum_{n=0,2,4} b_{kn} F_{jn}(\varphi_r) \sin \lambda_n \xi_0;$$

$$\text{Г} - \sum_{j=1,2} \sum_{n=0,2,4} b_{kn} F_{jn}(0) \sin \lambda_n \xi_t,$$

где  $a_{kn}$  и  $b_{kn}$  - коэффициенты разложения функций  $q_{ik}$  [1]

в тригонометрический ряд;  $F_{jn}(t) = C_{jn}(t) A_{jn}(t) +$

$D_{jn}(t) B_{jn}(t)$ ; ( $j = 1; 2$ ) - функции распределения перемещения в кольцевом направлении (для продольного ребра) и

в продольном направлении (для кольцевого ребра);  $C_{jn}$  и  $D_{jn}$  -

константы интегрирования;  $A_{jn}(t) = e^{-\alpha_{jn}(t)} \cos \beta_{jn}(t)$ ;  $B_{jn}(t) =$

$e^{-\alpha_{jn}(t)} \sin \beta_{jn}(t)$  - функции затухания силового возмущения;  $\bar{\beta}_n$  и  $\beta_n$  - функции влияния  $n$ -й единичной компоненты контактной нагрузки соответственно для продольного и кольцевого ребер на амплитудное значение перемещения;  $\alpha_{jn}$  и  $\beta_{jn}$  - параметры решения характеристических уравнений для кольцевого и продольного ребер соответственно в функции  $\xi$  и  $\varphi$ ;  $\omega_1$  и  $\omega_2$  - перемещения кольцевого и

продольного ребер, учитывающие их изгиб и податливость свар-

ного шва соединения;  $\theta = W/h$  — коэффициент отношения максимального перемещения ребра к толщине оболочки;  $r = 1, 2, \dots, r_1$ ;  $t = 1, 2, \dots, t_1$  — точки коллокаций [5].

Определив из системы (6) коэффициенты контактной нагрузки, вычисляем перемещения и все интересующие нас компоненты тензора внутренних усилий оболочки, определяющего ее моментное состояние:

$$M_1 = D/r^2 (\partial^2 W/\partial \xi^2 + \mu \partial^2 W/\partial \varphi^2);$$

$$M_2 = D/r^2 (\partial^2 W/\partial \varphi^2 + \mu \partial^2 W/\partial \xi^2);$$

$$T_1 = Eh/(1 - \mu^2) r [\partial U/\partial \xi + \mu (\partial V/\partial \varphi + W)];$$

$$T_2 = Eh/(1 - \mu^2) r (\partial V/\partial \varphi + W + \mu \partial U/\partial \xi);$$

$$Q_1 = D/r^3 [\partial^3 W/\partial \xi^3 + (2 - \mu) \partial^3 W/\partial \xi \partial \varphi^2];$$

$$Q_2 = D/r^3 [\partial^3 W/\partial \varphi^3 + (2 - \mu) \partial^3 W/\partial \xi^2 \partial \varphi].$$

Числовые расчеты производились в вычислительном центре МИСИ им. В.В. Куйбышева для оболочки-трубы длиной  $l = 3$  м и сечением  $\emptyset 219 \times 5$ ; материал трубы — сталь класса С 60/45; ( $\sigma_T = 450$  МПа;  $E = 2,1 \cdot 10^5$  МПа;  $\mu = 0,3$ ). Размеры ребер варьировались, и при этом были просчитаны случаи  $a/r = 1,1$  и  $3,3$  для продольного ребра;  $\varphi_0 = 0; \pi/4; \pi/3; \pi/2$  — для кольцевого ребра. Высоты ребер ( $h_\phi = 24; 12; 6$  см) принимались равными  $(0,5 - 2)r$ , толщина фасонки  $\delta_\phi = 1,2$  см. Было установлено, что влиянием изгиба ребра можно пренебречь при его  $h_\phi > r$ .

Для разработки инженерного метода расчета узлов с применением ребер в трубчатых стальных конструкциях используемый метод подобия [6] дал возможность обобщить численные решения, полученные для конкретных соотношений расчетных геометрических параметров узла и физических констант материала. Метод подобия позволил свести расчет различных цилиндрических оболочек с произвольным соотношением радиуса кривизны и толщины стенки  $r^*/h^*$  к некоторой, заранее выбранной,

цилиндрической оболочке, называемой "базисной", с гибкостью стенки  $r/h = 22$ , не производя трудоемких расчетов при решении контактной задачи и определении напряженного состояния. Переход от частного решения к обобщенному путем замены (пересчета) параметров "базисной" оболочки на произвольные осуществляется с помощью следующих формул:

$$a^* = (a/\Pi)(r^*/r); \varphi_o^* = \varphi_o/\Pi,$$

где  $\Pi = \sqrt[4]{(1-\mu^{*2})(1-\mu^2)} \sqrt{(r^*/h^*)(h/r)}$  при  $W^* = Wh^*/h$ ;

$$\sigma^* = (\sigma/\Pi^2)(E^*/E); M^* = \hat{M}(a, \varphi)(h^*/h)^2(\sigma_T^*/\sigma_T)2a^*; \quad (8)$$

$$G^* = \hat{G}(a, \varphi)(1/\Pi)(h^*/h)^2 a^*(E^*/E),$$

где  $\hat{M}$  и  $\hat{G}$  - соответственно несущая способность и жесткость "базисной" оболочки по исчерпанию упругой работы сечения;  $M^*$  и  $G^*$  - то же произвольной оболочки.

При определении несущей способности произвольной оболочки, нагруженной через одно ребро, формула имеет вид

$$P^* = M^*/2a^* = \hat{M}(a, \varphi)(h^*/h)^2 \sigma_T^*/\sigma_T. \quad (9)$$

На основе проведенных теоретических исследований разработан аналитический метод расчета узлов с системой ребер, использующий в качестве критерия предельной несущей способности условие появления полного пластического шарнира в сечениях стенки трубы в локальной области концентрации напряжений. Учитывая последнее обстоятельство, рассматривается псевдоупругое состояние оболочки с привлечением теории Прагера - Кунце и условия Гиркмана. При этом получаем возможную величину максимального краевого напряжения, вызываемую продольным узловым моментом

$$\sigma = mE(1+k_1)/(0,7+k_1)(\sigma_T - \sigma_o), \quad (10)$$

где  $\sigma_o = N + kS/F$  - продольное основное напряжение в трубе от осевой нагрузки  $N$  и продольной сдвигающей силы  $S$  в узле с учетом вызываемой ею концентрации напряжений [7],

определяемой коэффициентом  $k = \frac{1}{2} + \frac{5}{2} \frac{1 - 0,32 \varphi_o}{1 + 2,2 \varphi_o} \geq 1$ ; ко-

эффициент  $k_1 = \sigma_{10}/\sigma_{1u}$  представляет собой отношение



мембранного компонента локального краевого напряжения к изгибному, определяемому из решения цилиндрической оболочки;  $m = (1 + \bar{k}_1) / (0,7 + k_1) = 1,2$  - коэффициент, учитывающий высокий градиент затухания локальных напряжений и вызванный этим дополнительный резерв псевдоупругой работы оболочки;  $k_1 = \bar{\sigma}_{10} / \bar{\sigma}_{1u}$ ;  $\varepsilon = 1,2 [1 + (1 - k_1) \sigma_o / 2 \sigma_T]$  - коэффициент перехода от формулы Прагера - Кунце  $\sigma_{1u} \sqrt{2} + \sigma_{10} =$

$$= \sigma_T - \sigma_o \text{ к формуле Гиркмана } \left( \frac{\sigma_{10} + \sigma_o}{\sigma_T} \right)^2 + \sigma_{1u} / \sigma_T = 1.$$

С учетом выражений (8) расчетный внешний момент  $M$ , воспринимаемый узлом трубы с расчетным сопротивлением стали  $R \approx \sigma_T / m$ , определяется по формуле

$$M = M_o (1 - \sigma_o / \sigma_T) \varepsilon \text{ при } \sigma_T = 450 \text{ МПа,} \quad (11)$$

где  $M_o$  - внешний момент, вызывающий в зоне концентрации напряжения оболочки на величину  $\sigma = (1 + k_1) / (0,7 + k_1) \sigma_T$ .

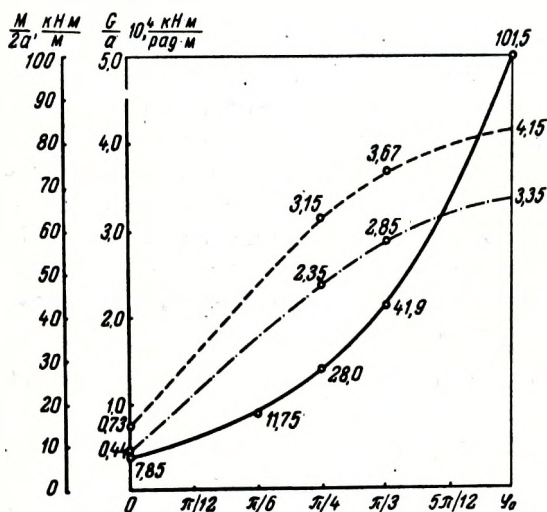


Рис. 2. Графики несущей способности и жесткости узла с кольцевыми ребрами: — — несущая способность узла с поперечным ребром; - - - - - жесткость узла с двумя поперечными ребрами при  $a=0,363$ ; - · - · - то же при  $a = 0,121$  м.

На рис. 2 приведены значения величины  $M_k / 2a$  и жесткости узла  $G_k / a$  при приложении внешнего момента к паре кольцевых ребер с углом охвата трубы  $2\varphi_o$  при интервале между ними  $2a$ . Аналогичные графики получены и для продольных ре-

бер. В случае комбинации ребер (продольных и кольцевых) может быть предложено приближенное решение, использующее парциальные решения только для кольцевых и только для продольных ребер. Распределение нагрузки в узле с системой продольно-поперечных ребер характеризуется коэффициентом  $\alpha = M_{\Pi} / M$ , показывающим, какая величина от общей нагрузки передается через продольное ребро. Доля участия в работе каждого из ребер определялась на основе решений контактных задач цилиндрической оболочки трубы, нагруженной через комбинацию ребер [5].

Аппроксимация полученных данных на основе численного исследования комбинированных узлов позволила построить график коэффициента  $\alpha$  (из-за ограниченности объема статьи не приводится) и установить выражения в двух областях его существования:

в области I при  $G_{\Pi} / G_K \leq 1$   $\alpha_1 = G_{\Pi} / 2 G_K - (1/4)(1 - G_{\Pi} / G_K)^2$ ;  
 $0 \leq \alpha_1 \leq 0,5$ ;

в области II при  $G_{\Pi} / G_K \geq 1$   $\alpha_2 = G_{\Pi} / 2 G_K - (\pi^2 / 8 \varphi_0)^2 \times (G_{\Pi} / G_K - 1)^2$ ;  
(12)

$0,5 \leq \alpha_2 \leq 1,0$ .

Следовательно, в зависимости от соотношения  $G_{\Pi} / G_K$  по формулам (12) вычисляется коэффициент  $\alpha$ . Далее находим  $M_0$  как минимум из двух значений  $M_K / (1 - \alpha)$  и  $M_{\Pi} / \alpha$ , где  $M_K$  и  $M_{\Pi}$  определяются по графикам для "базисной" оболочки. Наконец, по формуле (11) определяется несущая способность узла с применением ребер в трубчатой конструкции или листовой конструкции в более широком смысле. Чтобы воспользоваться графиком (рис. 2) при произвольных параметрах оболочки необходимо применить метод подобия и соответствующие формулы (8).

Для пояснения предлагаемого метода расчета узлов с ребрами в трубчатых фермах вновь обратимся к узлу (рис. 1,б), приняв для кольцевого ребра  $\varphi_0 = \pi / 2$ , при котором в запас прочности до 10% можно пренебречь работой продольного ребра и считать  $\alpha = 0$ .

Пример. Труба нижнего пояса фермы  $\emptyset 89 \times 4,5$  мм ( $r^* = 42,25$  мм;  $\omega = r^* / h^* = 9,4$ ;  $F = 11,94$  см<sup>2</sup>); сталь класса С 38/23 ( $\sigma_T = 240$  МПа).

Решение. 1. Определяем  $\sigma_0 = N + kS / F$ , где  $N = 107$  кН;

$$S = 70 \text{ кН}; k = 0,5 + 2,5 \frac{1 - 0,32 \varphi_0^*}{1 + 2,2 \varphi_0^*} = 0,78. \text{ Принимаем } k = 1,$$

тогда  $\sigma_0 = \frac{177}{11,94} = 148$  МПа.

2. Вычисляем коэффициент подобия  $\Pi = \sqrt{r^* / h^* h / r} = \sqrt{\frac{42,25}{4,5} \cdot \frac{5}{107}} = 0,659$ .

3. Приводим произвольную (рассматриваемую) оболочку к "базисной"  $\varphi^0 = \Pi \varphi_0^* = 0,659 \pi / 2 = 0,379\pi$ . По графику (рис. 2) находим  $M_k / 2a = 41,0$  кН·м и определяем величину внешнего момента по формуле (8)  $M_k^* = 41 \left( \frac{0,45}{0,5} \right)^2 \cdot 0,28 = 9,3$  кН·м.

4. С учетом поправки на толщину кольцевого ребра и сварных швов при  $\delta_\phi = 0,8$  см, определяемой по формуле  $\epsilon_k = 1 - \frac{\delta_\phi}{2\omega h} = 1 - \frac{0,8}{2 \cdot 3,065 \cdot 0,45} = 0,71$ , получаем откорректированную величину момента  $M_k^* / \epsilon_k = \frac{9,3}{0,71} = 13,1$  кН·м.

5. Определяем расчетную несущую способность узла по формуле (11)

$$M = 13,1 \left( 1 - \frac{148}{240} \right) \cdot 1,42 \cdot \frac{240}{450} = 3,79 \text{ кН·м, где}$$

$$\epsilon = 1,2 \left[ 1 + (1 - 0,4) \frac{148}{480} \right] = 1,42 \text{ при } k_1 = 0,4.$$

Таким образом, несущая способность узла обеспечена, так как превышает узловой момент, равный 3,11 кН·м.

Резюме. Теоретические исследования напряженно-деформированного состояния комбинированного узла позволили на основе метода подобия разработать инженерный метод расчета узлов трубчатых конструкций.

## Л и т е р а т у р а

1. Ильясевич С.А., Решетников Б.Н. Исследование стальных трубчатых ферм. - "Изв. вузов. Строительство и архитектура", 1974, № 6.
2. Илларионов В.Ф. Сельский строительный комбинат. М., 1975.
3. Власов В.З. Общая теория оболочек. М. - Л., 1949.
4. Соболев Ю.В., Алешин Н. Н. Напряженно-деформированное состояние цилиндрической оболочки при приложении радиальной внешней нагрузки к продольному ребру. - "Изв. вузов. Строительство и архитектура", 1973, № 7.
5. Соболев Ю.В., Мурашко Н.Н. Контактная задача при локальном нагружении цилиндрической оболочки через систему продольно-кольцевых ребер. - In: Zbornik prednasok zo sympózia "Teoretické problémy ocelových konstrukcie," Bratislava, 1975.
6. Соболев Ю.В. и др. К расчету упругих замкнутых цилиндрических оболочек с нагрузкой в середине пролета, приложенной к продольно-радиальному ребру. - "Изв. вузов. Строительство и архитектура", 1974, № 6.
7. Соболев Ю.В., Мурашко Н.Н. К расчету напряженно-деформированного состояния узлов трубчатых ферм. - "Изв. вузов. Строительство и архитектура", 1975, № 11.

УДК 69.057.12:728.9.003.1

В.И. Скрибо (канд.техн.наук), М.М. Борзенко

Институт строительства и архитектуры  
Госстроя БССР

### О ШАГЕ НЕСУЩИХ КОНСТРУКЦИЙ СЕЛЬСКОХОЗЯЙСТВЕННЫХ ПРОИЗВОДСТВЕННЫХ ЗДАНИЙ

Опыт проектирования, сооружения и эксплуатации сельскохозяйственных производственных зданий показывает, что задача снижения материалоемкости и трудоемкости строительства наиболее эффективно решается за счет облегченных ограждений, создающих условия для укрупнения шага несущих конструкций. В этой связи, учитывая большие объемы строительства, следует критически подойти к анализу принятой в настоящее время конструктивной схемы сельскохозяйственных производственных зданий.